

## TỔNG HỢP OXIT KIM LOẠI VÀ OXIT ĐẤT HIỀM BẰNG PHƯƠNG PHÁP ĐỐT CHÁY GEL

Lưu Minh Đại, Nguyễn Gia Hưng, Đào Ngọc Nhiệm,  
Vũ Thế Ninh, Phạm Ngọc Chúc

Viện Khoa học Vật liệu, Viện Khoa học và Công nghệ Việt Nam  
18 Hoàng Quốc Việt, quận Cầu Giấy, Hà Nội; Email: [dailm@ims.vast.ac.vn](mailto:dailm@ims.vast.ac.vn)

**Tóm tắt:** Phương pháp đốt cháy gel ở nhiệt độ thấp tạo ra các oxit kim loại, oxit đất hiếm và vật liệu chứa oxit đất hiếm có kích thước nanomet đã được nghiên cứu tổng hợp và ứng dụng trong lĩnh vực xúc tác, hấp phụ xử lý môi trường. Quy trình tổng hợp đơn giản, không yêu cầu các thiết bị và hóa chất đắt tiền, tạo ra sản phẩm có kích thước đồng nhất  $<50$  nanomet với diện tích bề mặt lớn và có khả năng triển khai lượng lớn, thời gian tổng hợp nhanh, phù hợp với thực tế ở Việt Nam. Một số tính chất hóa lí của các oxit kim loại, oxit đất hiếm và vật liệu chứa oxit đất hiếm như cấu trúc pha, kích thước hạt, diện tích bề mặt được xác định bằng phân tích nhiễu xạ tia X, kính hiển vi điện tử (SEM, TEM) và hấp phụ (BET).

### I. GIỚI THIỆU

Trong những năm gần đây vật liệu có kích thước nanomet là một vật liệu được nghiên cứu và ứng dụng rất nhiều trong lĩnh vực: xúc tác và hấp phụ xử lý môi trường [1,2,3], chúng có nhiều ưu việt hơn so với vật liệu được chế tạo bằng phương pháp truyền thống. Do quá trình tổng hợp ở nhiệt độ thấp nên sản phẩm thu được có kích thước hạt nhỏ và diện tích bề mặt lớn cho khả năng hấp phụ và xúc tác cao.

Dể tiếp cận với những nghiên cứu về vật liệu nanomet trên thế giới, trong thời gian gần đây tập thể nghiên cứu phòng Vật liệu Vô Cơ đã tập trung nghiên cứu tổng hợp các vật liệu có kích thước nanomet có diện tích bề mặt lớn và bước đầu thu được một số kết quả khả quan [1,2,3].

### II. THỰC NGHIỆM

#### 1. Dụng cụ hóa chất

Các muối nitrat kim loại, PVA,  $HNO_3$  và một số hóa chất dùng trong thí nghiệm đều có độ sạch phân tích.

Lò nung S-4800 (Mỹ), tủ sấy (Đức), máy khuấy từ gia nhiệt (Italia), cốc nung, chén nung và một số dụng cụ thủy tinh.

#### 2. Các phương pháp nghiên cứu

Trộn muối nitrat kim loại, muối nitrat đất hiếm với dung dịch PVA theo tỉ lệ mol tương ứng, khuấy gia nhiệt cho đến khi tạo gel nhót, xử lý nhiệt thu được sản phẩm là các oxit kim loại, oxit đất hiếm hay các vật liệu có kích thước nanomet.



Giản đồ phân tích nhiệt được ghi trên máy TGA-50 và DTA-50 của hãng Shimadzu (Nhật Bản)

Giản đồ nhiễu xạ tia X được ghi trên máy Siemens d-5000 (CHLB Đức) với bức xạ CuK $\alpha$  bước sóng  $\lambda=1,5406 \text{ \AA}^0$ .

Ảnh vi cấu trúc và hình thái học của các mẫu được xác định trên máy JEOL-5300 (Nhật bản).

Diện tích bề mặt được đo bằng phương pháp Brunauer – Emmet – Teller (BET) trên máy SA-4800 của hãng COULTER (Mỹ).

### III. KẾT QUẢ VÀ THẢO LUẬN

PVA là loại polyme có chứa các nhóm chức ưu nước (hydrophilic) là các nhóm hydroxyl, khi bị chuyển hóa sâu hơn hình thành các nhóm cacboxylat. Các nhóm cacboxylat này có vai trò như một tác nhân tạo phức vòng (chelating agent), tạo ra môi liên kết giữa các cation kim loại và nền polyme khiến chúng được phân tán đồng đều trong dung dịch và ngăn cản sự kết tụ các hạt. Trong quá trình xử lý nhiệt các ion NO<sub>3</sub><sup>-</sup> cung cấp một môi trường oxy hóa mạnh cho sự phân hủy cacboxylat kim loại. Với sự bốc cháy hoàn toàn của dung dịch, quá trình tự bốc cháy lan truyền xảy ra mãnh liệt làm tăng cường cho quá trình chia tách hạt trong Gel tiền chất.

#### A. Tổng hợp một số oxit đất hiếm có kích thước nanomet.

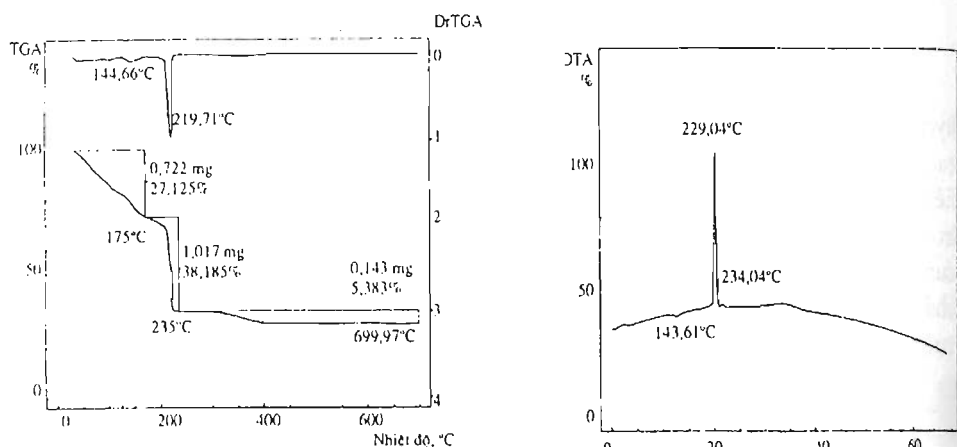
Cùng với nhịp độ phát triển khoa học và công nghệ, các tính năng ưu việt của các nguyên tố đất hiếm (NTDH) ngày càng được khám phá, ứng dụng vào đời sống trong nhiều lĩnh vực khác nhau. Từ nhiều năm nay, việc triển khai công nghệ và ứng dụng đất hiếm đã đạt được những kết quả đầy thuyết phục. Đặc biệt trong những năm cuối của thế kỷ 20, cùng với những phát triển mạnh của các ngành công nghiệp hiện đại, đất hiếm với những tính chất vật lý và hóa học vô cùng phong phú cho ta những ứng dụng rộng rãi trong nhiều ngành kinh tế quốc dân. Nguyên tố đất hiếm là nguyên liệu không thể thiếu trong lĩnh vực chế tạo các vật liệu từ, vật liệu siêu dẫn, vật liệu hạt nhân... Vật liệu từ chứa đất hiếm có mật độ lõng lượng từ cao giá thành rẻ, đã được ứng dụng nhiều trong việc chế tạo các động cơ điện, máy gia tốc proton, máy vi tính... NTDH được ứng dụng trong lĩnh vực luyện kim để chế tạo hợp kim trung gian, biến tính chất lượng thép và hợp kim. Trong lĩnh vực thủy tinh các NTDH được dùng làm chất khử màu, tạo màu cho vật liệu thủy tinh, chế tạo lăng kính, thấu kính chịu nhiệt, làm vật liệu mài đánh bóng thủy tinh và thiết bị quang học đặc biệt. NTDH được sử dụng để sản xuất chất xúc tác trong công nghệ xử lý khí thải, công nghệ xúc tác hóa dầu và tổng hợp hữu cơ. Đất hiếm còn được sử dụng như chế phẩm dinh dưỡng kích thích sinh trưởng cho cây trồng và mang lại hiệu quả kinh tế cao trong nông nghiệp.

Báo cáo này trình bày một số các kết quả nghiên cứu có liên quan trong thời gian vừa qua tại phòng Vật Liệu Vô Cơ.

#### 1. Phân tích nhiệt

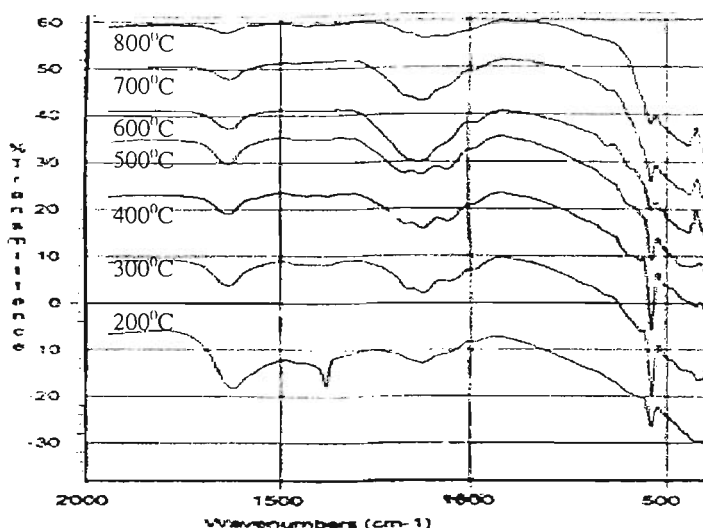
Phân tích nhiệt TGA và DTA cho những thông tin về hiệu ứng nhiệt, sự giảm khối lượng của mẫu liên quan đến các phản ứng chuyển pha trong quá trình gia tăng tuyển tính

nhiệt độ. Một thí dụ điển hình trình bày trên hình 1. Sự giảm khối lượng từ nhiệt độ phòng đến  $170^{\circ}\text{C}$  (27,12%) trên đường TG là sự mất nước hidrat và sự phân hủy các ion nitrat, sự dehidrat của PVA tương ứng với peak thu nhiệt ở  $144^{\circ}\text{C}$  trên đường DTA. Quá trình giảm khối lượng từ  $170^{\circ}\text{C}$  đến  $235^{\circ}\text{C}$  (38,18%) được coi là sự đốt cháy hidrocacbon của phân tử PVA tương ứng với một peak phát nhiệt rất mạnh và hẹp có cực đại ở  $229^{\circ}\text{C}$  trên đường DTA. Từ  $235^{\circ}\text{C}$  đến  $400^{\circ}\text{C}$  quan sát thấy giảm khối lượng (5,38%) trên đường TG tương ứng với quá trình đốt cháy bã cacbon của PVA còn lại. Trên  $400^{\circ}\text{C}$  không thấy có sự biến đổi nào về khối lượng, điều này cho thấy sự hình thành của oxit xêri.



Hình 1: Giản đồ phân tích nhiệt TGA – DTG của gel Ce – PVA

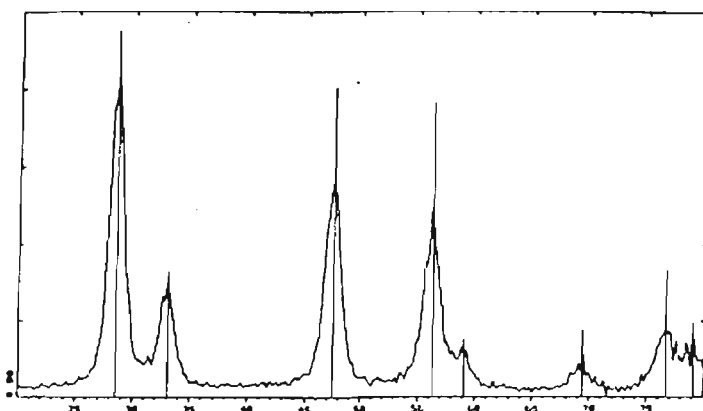
Quang phổ hồng ngoại (IR) cho biết những thông tin về sự biến đổi của gel precursor theo nhiệt độ. Trong giai đoạn đầu của quá trình xử lý nhiệt xảy ra sự khử đồng thời các ion nitrat cùng với quá trình oxi hóa các nhóm hydroxyl (OH) của PVA thành nhóm cacboxyl (COOH). Các phối tử cacboxylat trong cấu trúc của PVA có thể tạo phức với các ion kim loại hình thành phức chelat kim loại trong cấu trúc polyme của PVA có tác dụng ngăn cản sự kết tụ của các ion xêri. Sự có mặt của ion  $\text{COO}^-$  và ion nitrat có trong precursor được thấy ở dải hấp thụ mạnh trong vùng  $1634$  và  $1445 \text{ cm}^{-1}$  tương ứng với các ion cacboxylat phối trí. Dải hấp thụ ở vùng  $1384 \text{ cm}^{-1}$  tương ứng với ion nitrat. Khi nhiệt độ nung mẫu ở  $200^{\circ}\text{C}$  dải hấp thụ  $1634 \text{ cm}^{-1}$  dịch chuyển về phía tần số thấp  $1629 \text{ cm}^{-1}$  chứng tỏ các ion xêri đã liên kết phối trí qua oxy của nhóm cacboxyl ( $\text{COOH}$ ) và dải hấp thụ  $1445 \text{ cm}^{-1}$  của ion nitrat cũng dịch chuyển về phía tần số tần số thấp hơn  $1394 \text{ cm}^{-1}$ . Khi tăng nhiệt độ các dải hấp thụ trong vùng  $650$  đến  $442 \text{ cm}^{-1}$  xuất hiện với cường độ tăng dần, điều này cho thấy bắt đầu có sự xuất hiện dao động hóa trị Ce – O của oxit xêri. Khi nhiệt độ tăng trên  $500^{\circ}\text{C}$  thì không thấy sự biến đổi nào trong phô (Hình 2)



Hình 2: Quang phổ IR của mẫu nung ở 200,300,400,500,600,700 và 800°C.

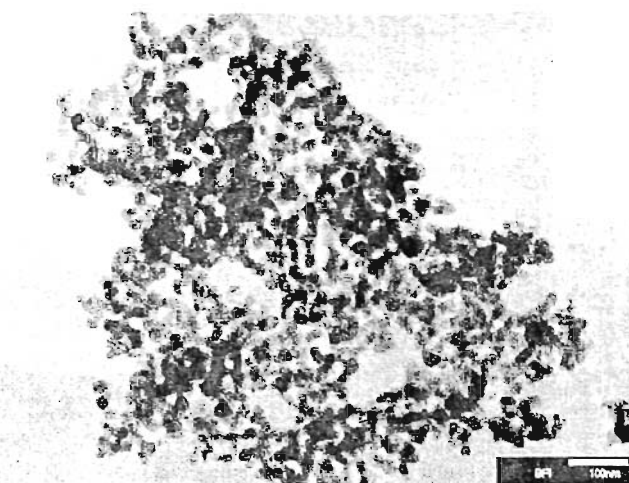
## 2. Xác định cấu trúc, hình thái học và diện tích bề mặt của mẫu.

Cấu trúc mạng tinh thể của mẫu nung ở 500°C đã được xác định bằng phổ XRD. Kết quả thu được CeO<sub>2</sub> có cấu trúc thuộc hệ lập phương . Điều này phù hợp với các nghiên cứu ở trên.



Hình 3: Giản đồ tia X của mẫu nung ở 500°C.

Qua kính hiển vi điện tử cho thấy CeO<sub>2</sub> thu được có kích thước < 50nm (hình 4) và xác định diện tích bề mặt riêng của CeO<sub>2</sub> là 55m<sup>2</sup>/g.



Hình 4: Ảnh TEM của  $\text{CeO}_2$ .

Đã sử dụng phương pháp đốt cháy gel ở nhiệt độ thấp để tổng hợp một số oxit đất hiếm kết quả thu được như sau:  $\text{La}_2\text{O}_3$  có kích thước < 50nm với diện tích bề mặt  $23,75\text{m}^2/\text{g}$ ;  $\text{Nd}_2\text{O}_3$  có kích thước < 50nm với diện tích bề mặt  $18,99\text{m}^2/\text{g}$ ;  $\text{Eu}_2\text{O}_3$  có kích thước < 50nm với diện tích bề mặt  $9,43\text{m}^2/\text{g}$ ;  $\text{Y}_2\text{O}_3$  có kích thước < 50nm với diện tích bề mặt  $35,97\text{m}^2/\text{g}$ .

### B. Tổng hợp một số oxit kim loại có kích thước nanomet.

Đã nghiên cứu tổng hợp một số kim loại có nhiều ứng dụng trong thực tế như  $\text{MnO}_2$ ,  $\text{NiO}$ ...

#### 1. Tổng hợp $\text{MnO}_2$ .

Tử lâu mangan là nguyên tố đã được sử dụng rất rộng rãi trong nhiều lĩnh vực như vật liệu từ, vật liệu xúc tác, vật liệu hắt phụ, xúc tác oxi hóa dị thê  $\text{Mn} - \text{Ce}$ ,  $\text{Mn} - \text{Al}_2\text{O}_3$ ,  $\text{Mn} - \text{Zn} - \text{Cr}$  để oxi hóa chọn lọc các chất độc hại trong nước, nước thải. Hơn nữa  $\text{MnO}_2$  còn là nhiên liệu rất quan trọng cho pin.

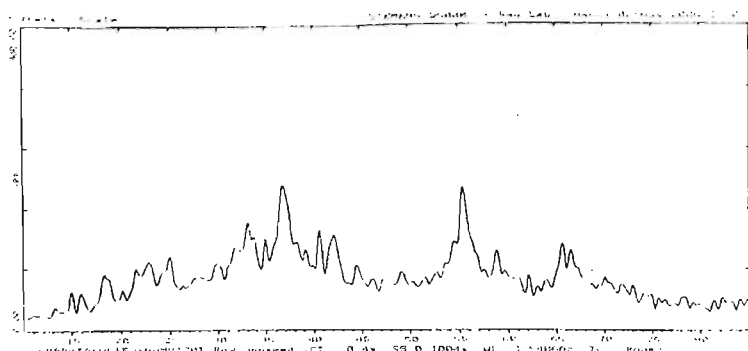
Đã nghiên cứu khảo sát các yếu tố ảnh hưởng tới kích thước hạt như pH tạo gel, nhiệt độ tạo gel, tỷ lệ giữa kim loại và PVA, thời gian nung, nhiệt độ nung..

Chúng tôi chọn mangan để trình bày cụ thể hơn vì đây là nguyên tố có nhiều ứng dụng trong thực tế như làm xúc tác xử lý khí, xử lý nước có nhiễm asen, sắt, mangan....

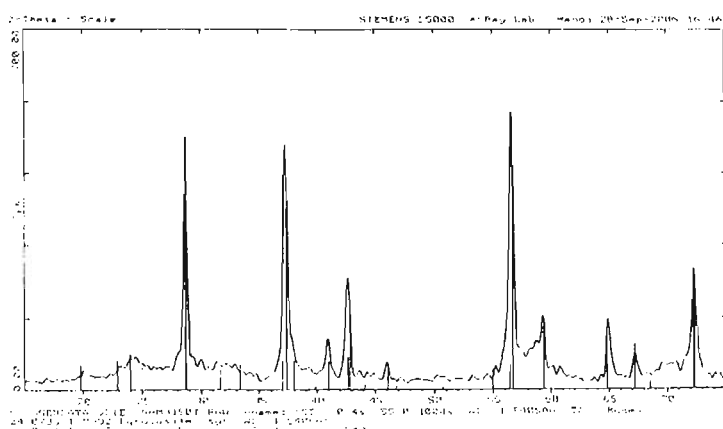
##### 1.1. Ảnh hưởng của nhiệt độ nung lên cấu trúc pha của $\text{MnO}_2$ .

Mẫu được điều chế với tỷ lệ mol tương ứng  $\text{Mn}/\text{PVA}$  là  $1/3$ , nhiệt độ tạo gel là  $80^\circ\text{C}$ , sau đó nung ở các nhiệt độ khác nhau. Tiến hành ghi phô nhiễu xạ tia X. Kết quả được chỉ ra ở (hình 5).

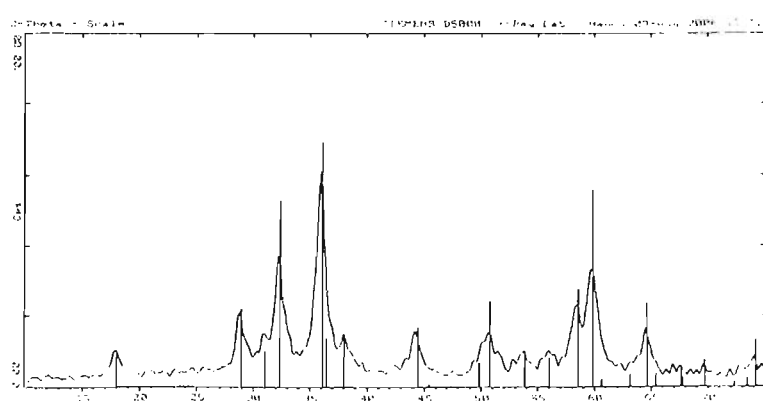
Giản đồ nhiễu xạ tia X của mẫu nung ở  $120^{\circ}\text{C}$ .



Giản đồ nhiễu xạ tia X của mẫu nung ở  $150^{\circ}\text{C}$ .



Giản đồ nhiễu xạ tia X của mẫu nung ở  $250^{\circ}\text{C}$



Hình

Giản đồ nhiễu xạ tia X của mẫu nung ở  $120^{\circ}\text{C}$  cho thấy mẫu bắt đầu hình thành tinh thể. Trong mẫu nung ở  $150^{\circ}\text{C}$  ta thấy pha kết tinh của mẫu là MnO<sub>2</sub>. Mẫu nung ở

250 °C xuất hiện pha kết tinh của mẫu là  $Mn_3O_4$ . Qua đó thấy rằng để điều chế  $MnO_2$  cần nung mẫu ở 150°C.

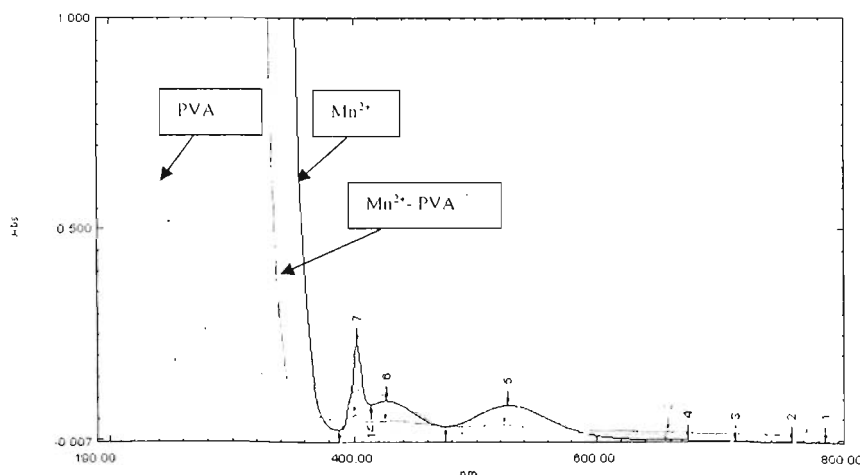
### 1.2. Xác định hình thái học và diện tích bề mặt của $MnO_2$ .

Mẫu  $MnO_2$  chế tạo được đem phân tích hình thái học bằng kính hiển vi điện tử quét; kết quả cho thấy  $MnO_2$  có kích thước < 50nm (hình 6).



Hình 6: Ảnh SEM của  $MnO_2$ .

Như đã biết, PVA là một polyme dễ tan trong nước tạo chất nền để các cation kim loại phân bố đồng đều. Mặt khác, PVA còn có thể tạo phức với các ion kim loại. Để minh chứng cho sự tạo phức này chúng tôi đã tiến hành đo phổ tử ngoại của  $Mn^{2+}$ , dung dịch PVA và của gel  $Mn^{2+}$  - PVA. Kết quả được chỉ ra ở hình 7.



Hình 7: Phổ tử ngoại của  $Mn^{2+}$ , dung dịch PVA và của gel  $Mn^{2+}$  - PVA.

Qua hình 7 ta thấy phổ tử ngoại của dung dịch PVA có cực đại ở 240nm còn của  $Mn^{2+}$  có cực đại ở 410nm. Khi tạo gel của  $Mn^{2+}$  với PVA cực đại ở 410nm mất đi và chuyển về 400nm. Điều này cho ta thấy giữa  $Mn^{2+}$  với PVA có sự tạo phức từ đó dẫn tới gel đồng nhất và tạo hạt riêng rẽ (không bị kết hạt).

### 1.3. Đánh giá khả năng hấp phụ của MnO<sub>2</sub> nanomet theo mô hình đẳng nhiệt Langmuir

Đường hấp phụ đẳng nhiệt langmuir được áp dụng thành công vào nhiều quá trình hấp phụ các chất ô nhiễm và sử dụng rộng rãi nhất trong việc mô tả quá trình hấp phụ chất tan từ môi trường lỏng. Phương trình Langmuir có dạng:

$$q = \frac{q_{\max} \cdot b \cdot C_f}{1 + b \cdot C_f}$$

Trong đó: q<sub>max</sub>: Tải trọng hấp phụ trên bề mặt đơn lõp (mg/g)

q: Hàm lượng kim loại đã được hấp phụ (mg/g)

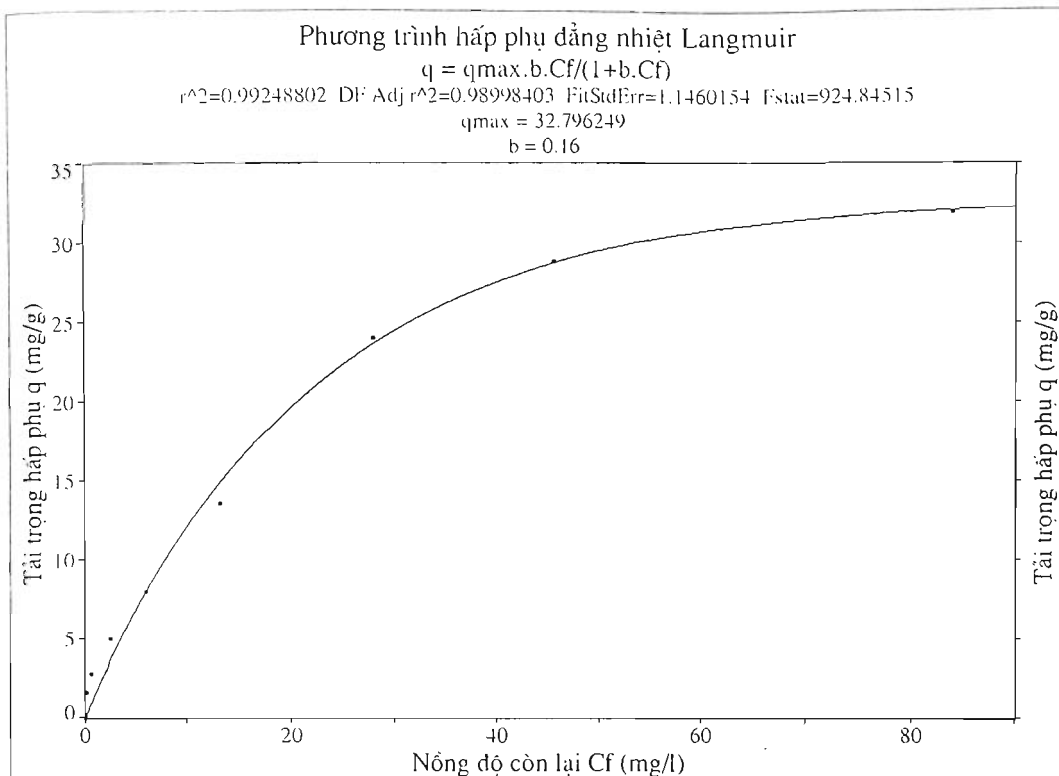
b: Hằng số đẳng nhiệt của phương trình (dm<sup>3</sup>/mg)

Trong các thí nghiệm mẫu hấp phụ với nồng độ ban đầu của asen từ 1 ppm đến 100 ppm được pha từ dung dịch chuẩn asen 1000 ppm (mesh-Đức), tiến hành trên máy khuấy từ (Hana-Ý) liên tục một lượng bột MnO<sub>2</sub> với pha dung dịch asen, cứ sau khoảng thời gian xác định, đảm bảo quá trình hấp phụ đạt bão hòa (quá trình hấp phụ đạt cân bằng) chúng tôi lấy mẫu ra xác định nồng độ asen. Kết quả phân tích các mẫu thí nghiệm của chúng tôi đều đo trên máy hấp thụ nguyên tử AAS (shimadzu-Nhật), kết quả chi ra dưới bảng 1:

**Bảng 1:** Tải trọng hấp phụ phụ thuộc vào nồng độ asen ban đầu.

Nồng độ ban đầu C <sub>0</sub> (μg/l)	Nồng độ còn lại C <sub>f</sub> (μg/l)	Tải trọng hấp phụ q (mg/g)
1000	200	1.6
2000	600	2,8
5000	2500	5
10000	6000	8
20000	13200	13.6
40000	28000	24
60000	45600	28.8
100000	84000	32

Các hằng số đẳng nhiệt của quá trình hấp phụ asen trên vật liệu MnO<sub>2</sub> từ kết quả hồi qui các số liệu thực nghiệm bằng phần mềm Table Curve được đưa ra trong hình 8.



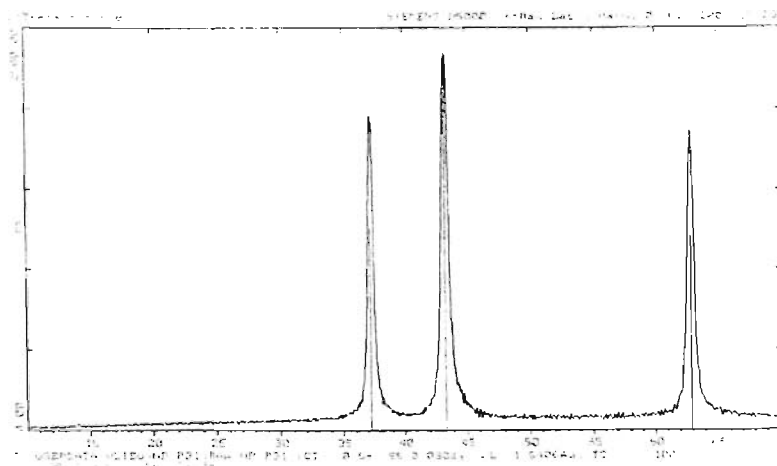
Hình 8: Đường đẳng nhiệt hấp phụ arsen của  $\text{MnO}_2$  nanomet.

Nhận xét: sự hấp phụ arsen trên  $\text{MnO}_2$  nanomet được mô tả khá tốt bằng mô hình Langmuir hệ số hồi qui cho mô hình này đối với arsen là 99.2%

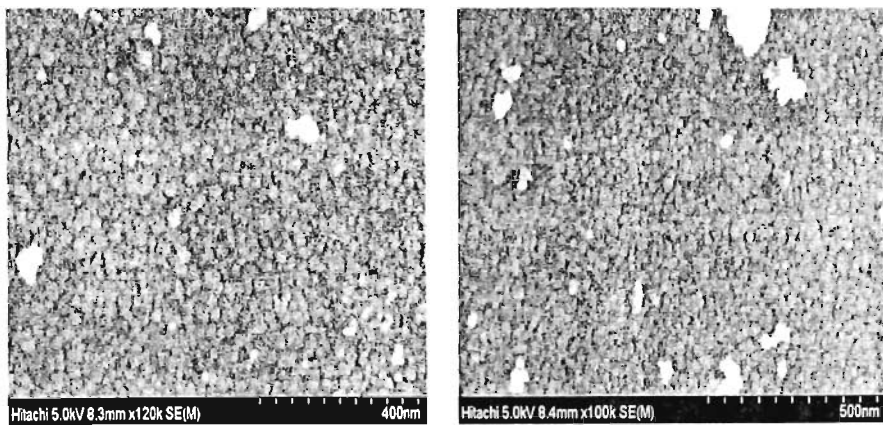
Kết quả cũng chỉ ra rằng tải trọng hấp phụ cực đại tính theo mô hình Langmuir là 32.79 mg/g.

## 2. Điều chế NiO có kích thước nanomet.

Mẫu được tổng hợp ở pH = 4, nhiệt độ tạo gel 80°C, tỷ lệ Ni/PVA là 1/3 đã được xử lý nhiệt cho ta NiO đơn pha (hình 9) có kích thước < 50nm (hình 10) với diện tích bề mặt 32,57  $\text{m}^2/\text{g}$ .



Hình 9: Giản đồ nhiễu xạ tia X của NiO.



Hình 10: Ảnh SEM của NiO.

#### IV. KẾT LUẬN

Đã nghiên cứu công nghệ tổng hợp được một số oxit đất hiếm, oxit kim loại có kích thước nanomet với diện tích bề mặt lớn bằng phương pháp đốt cháy gel ở nhiệt độ thấp: Ce<sub>2</sub>O<sub>3</sub> có kích thước <50nm với diện tích bề mặt 55m<sup>2</sup>/g; La<sub>2</sub>O<sub>3</sub> có kích thước < 50nm với diện tích bề mặt 23,75m<sup>2</sup>/g; Nd<sub>2</sub>O<sub>3</sub> có kích thước < 50nm với diện tích bề mặt 18,99m<sup>2</sup>/g; Eu<sub>2</sub>O<sub>3</sub> có kích thước < 50nm với diện tích bề mặt 9,43m<sup>2</sup>/g; Y<sub>2</sub>O<sub>3</sub> có kích thước < 50nm với diện tích bề mặt 35,97m<sup>2</sup>/g. MnO<sub>2</sub> có kích thước <50nm với diện tích bề mặt 49,75m<sup>2</sup>/g và NiO có kích thước <50nm với diện tích bề mặt 32,57m<sup>2</sup>/g.

Đã nghiên cứu ứng dụng một số oxit đất hiếm và vật liệu chứa các oxit này làm xúc tác xử lý khí thải và đánh giá sự hấp phụ arsen trên MnO<sub>2</sub> nanomet bằng phương trình Langmuir với hệ số hồi qui đối với arsen là 99.2%, và tải trọng hấp phụ cực đại 32.79 mg/g.